è vietata la riproduzione di questo documento, senza preventiva autorizzazione scritta dello SGI
reproduction of this document is forbidden without prior written permission of SGI

Allegato A:
Analisi di stabilità della discarica

I N D I C E

Figura 1: Traccia della sezione verificata 3
Figura 2: Verifica di stabilità del corpo rifiuti di ampliamento Fs = 1.112 (condizioni statiche) 4
Figura 3: Verifica di stabilità della vecchia discarica a seguito del abbancamento di ampliamento Fs = 1.117 (condizioni statiche) 5
Figura 4 Verifica di stabilità del corpo rifiuti lungo le interfacce del sistema di impermeabilizzazione Fs = 1.120 (condizioni statiche) 6
Figura 5: Verifica di stabilità corpo rifiuti ampliamento Fs = 1.012 (condizioni pseudostatiche) 8
Figura 6: Verifica di stabilità della vecchia discarica a seguito del abbancamento di ampliamento Fs = 1.015 (condizioni pseudo-statiche) 9
Figura 7: Verifica di stabilità corpo rifiuti lungo le interfacce del sistema di impermeabilizzazione Fs = 1.006 (condizioni pseudostatiche) 10

è vietata la riproduzione di questo documento, senza preventiva autorizzazione scritta dello SGI
reproduction of this document is forbidden without prior written permission of SGI

è vietata la riproduzione di questo documento, senza preventiva autorizzazione scritta dello SGI
reproduction of this document is forbidden without prior written permission of SGI

Allegato A1:
Analisi di stabilità in condizioni statiche

è vietata la riproduzione di questo documento, senza preventiva autorizzazione scritta dello SGI
reproduction of this document is forbidden without prior written permission of SGI

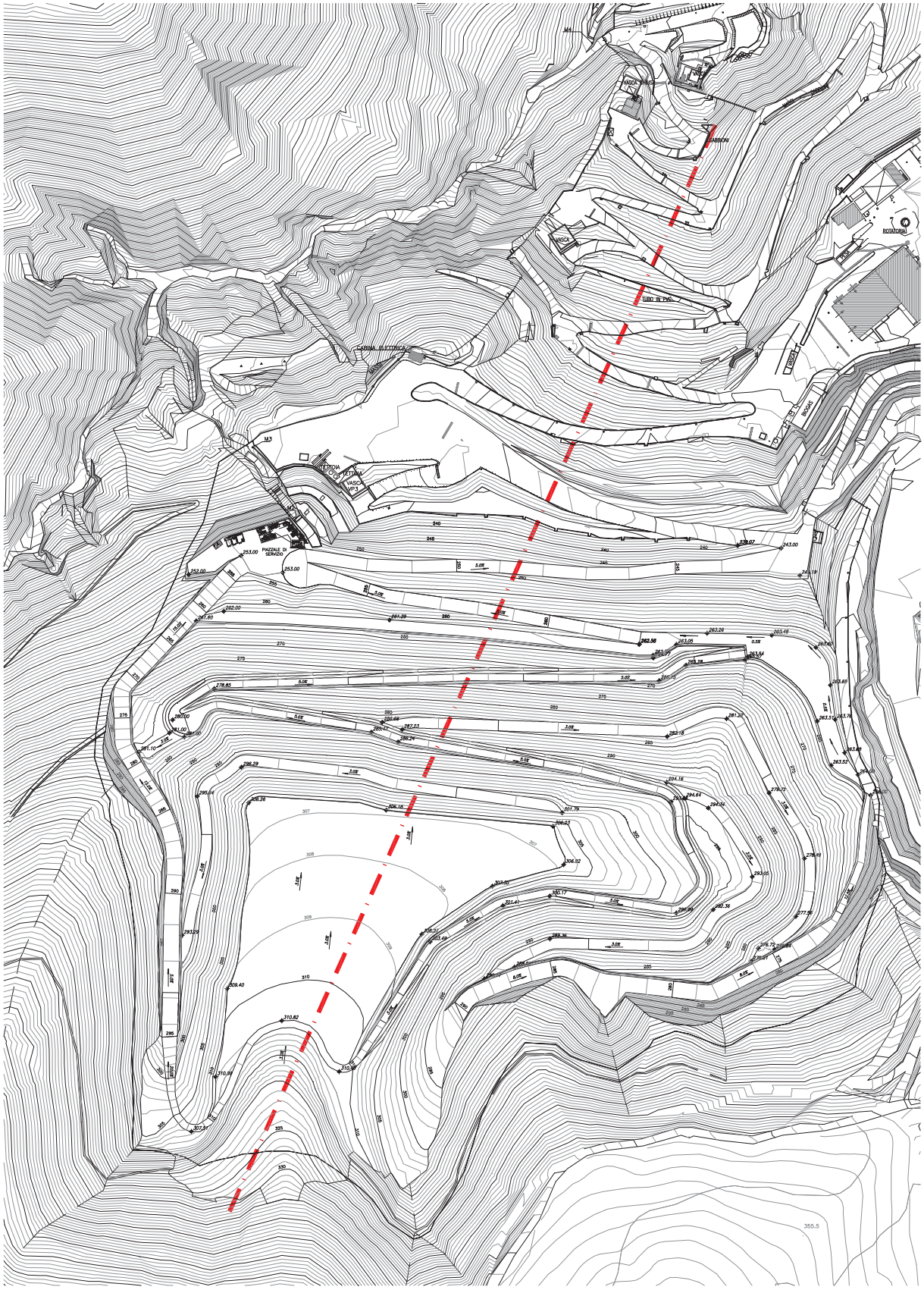


Figura 1: Traccia della sezione verificata

è vietata la riproduzione di questo documento, senza preventiva autorizzazione scritta dello SGI
reproduction of this document is forbidden without prior written permission of SGI

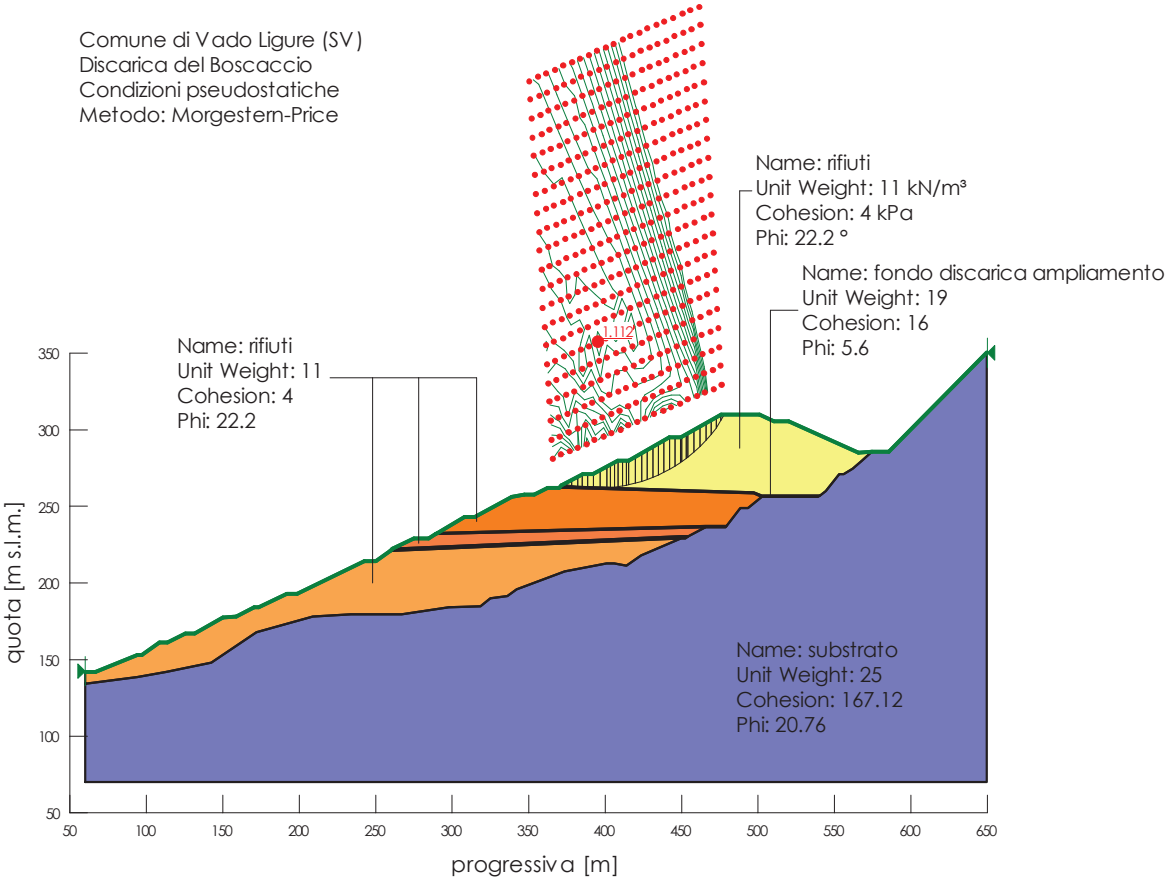


Figura 2: Verifica di stabilità del corpo rifiuti di ampliamento Fs = 1.112 (condizioni statiche)

è vietata la riproduzione di questo documento, senza preventiva autorizzazione scritta dello SGI
reproduction of this document is forbidden without prior written permission of SGI

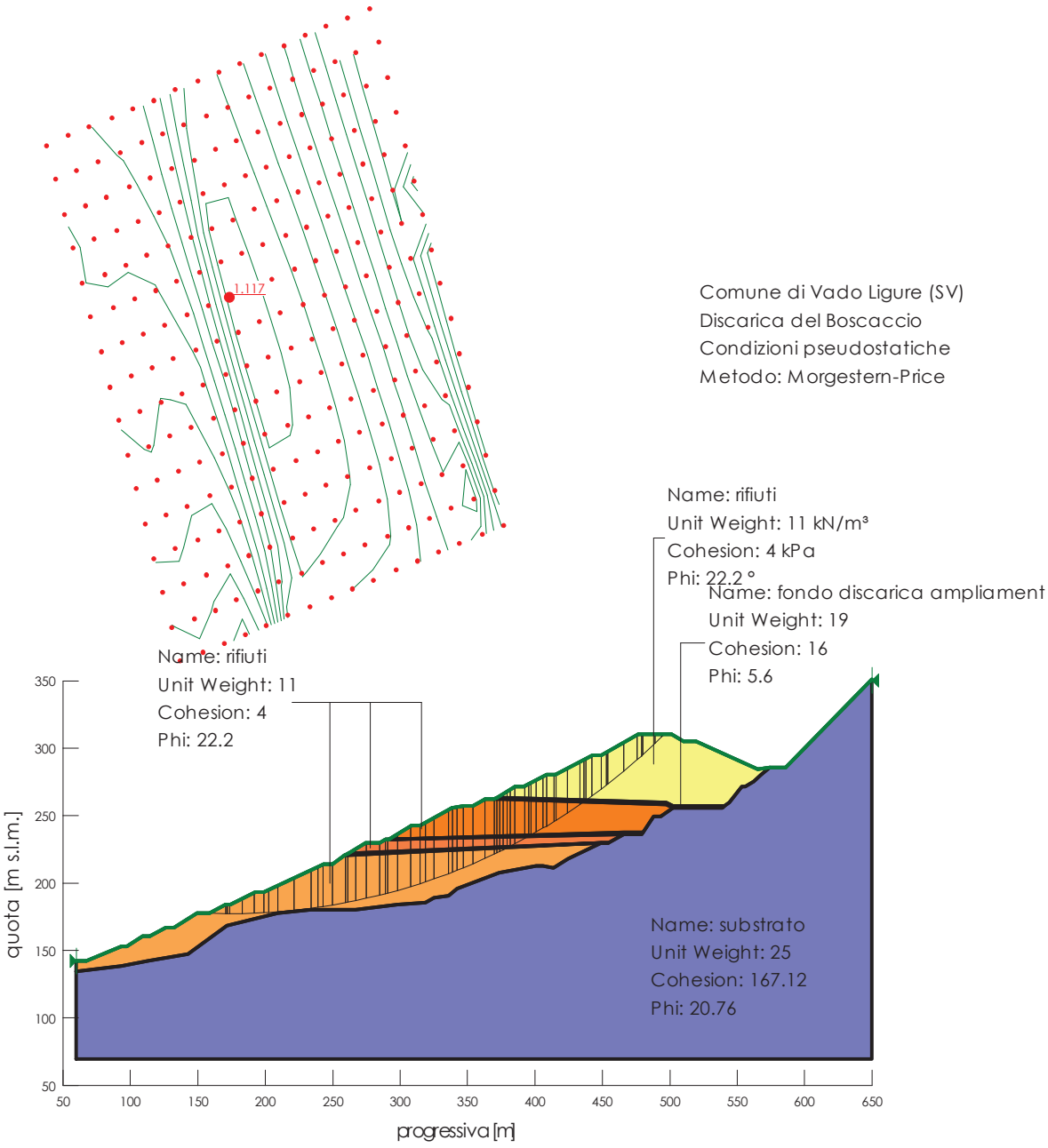


Figura 3: Verifica di stabilità della vecchia discarica a seguito del abbancamento di ampliamento Fs = 1.117 (condizioni statiche)

è vietata la riproduzione di questo documento, senza preventiva autorizzazione scritta dello SGI
reproduction of this document is forbidden without prior written permission of SGI

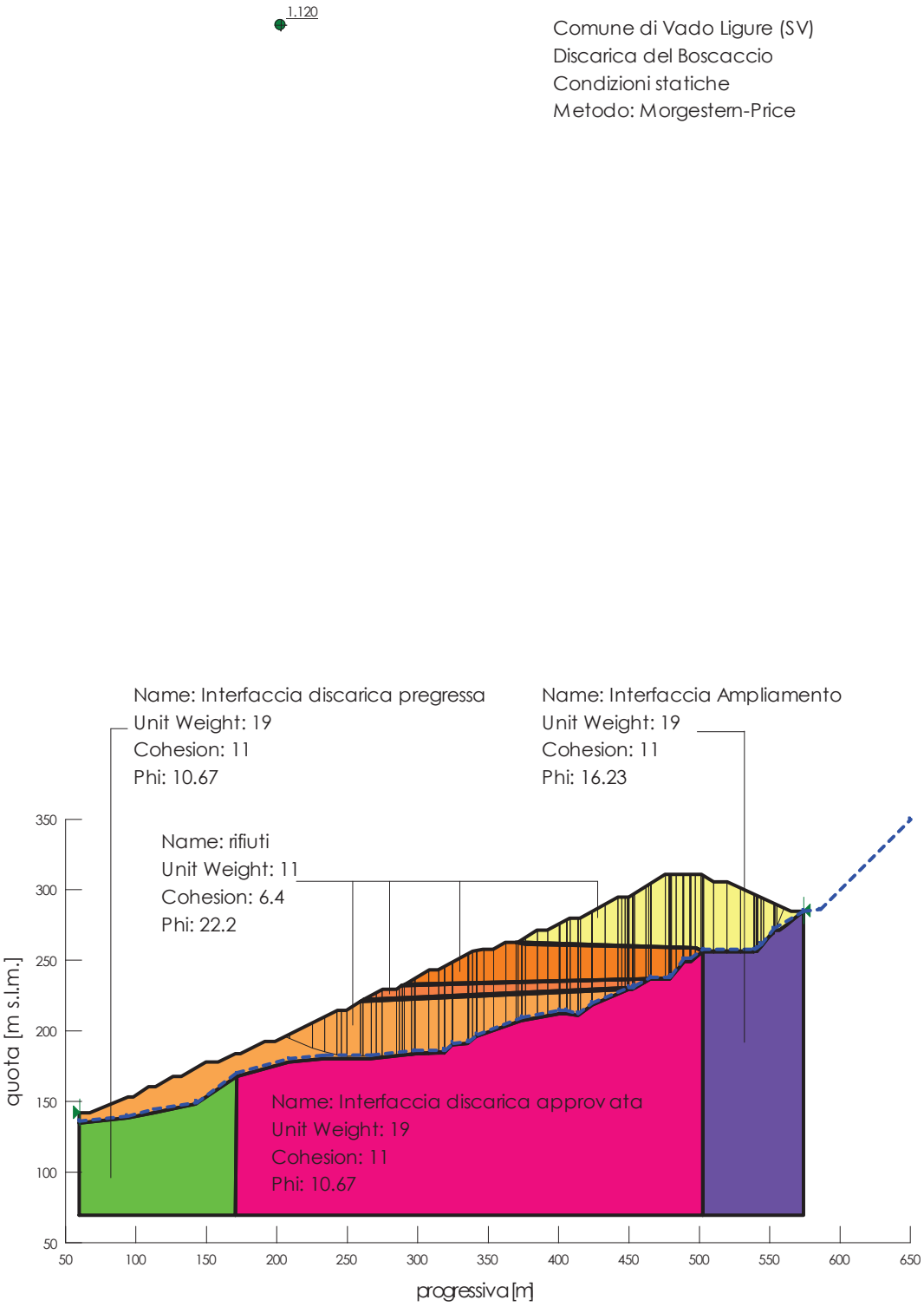


Figura 4 Verifica di stabilità del corpo rifiuti lungo le interfacce del sistema di impermeabilizzazione Fs = 1.120 (condizioni statiche)

è vietata la riproduzione di questo documento, senza preventiva autorizzazione scritta dello SGI
reproduction of this document is forbidden without prior written permission of SGI

Allegato A2:

Analisi di stabilità in condizioni pseudo-statiche

è vietata la riproduzione di questo documento, senza preventiva autorizzazione scritta dello SGI
reproduction of this document is forbidden without prior written permission of SGI

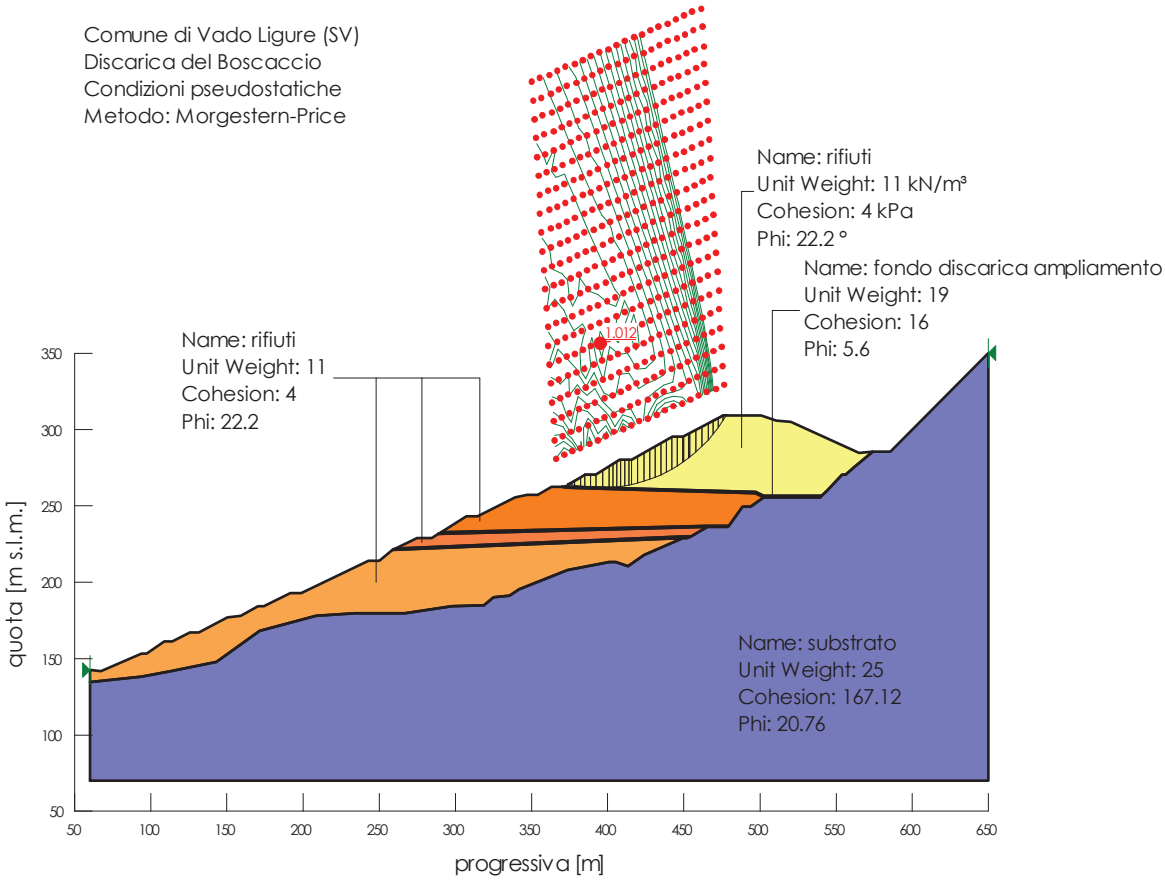


Figura 5: Verifica di stabilità corpo rifiuti ampliamento Fs = 1.012 (condizioni pseudostatiche)

è vietata la riproduzione di questo documento, senza preventiva autorizzazione scritta dello SGI
reproduction of this document is forbidden without prior written permission of SGI

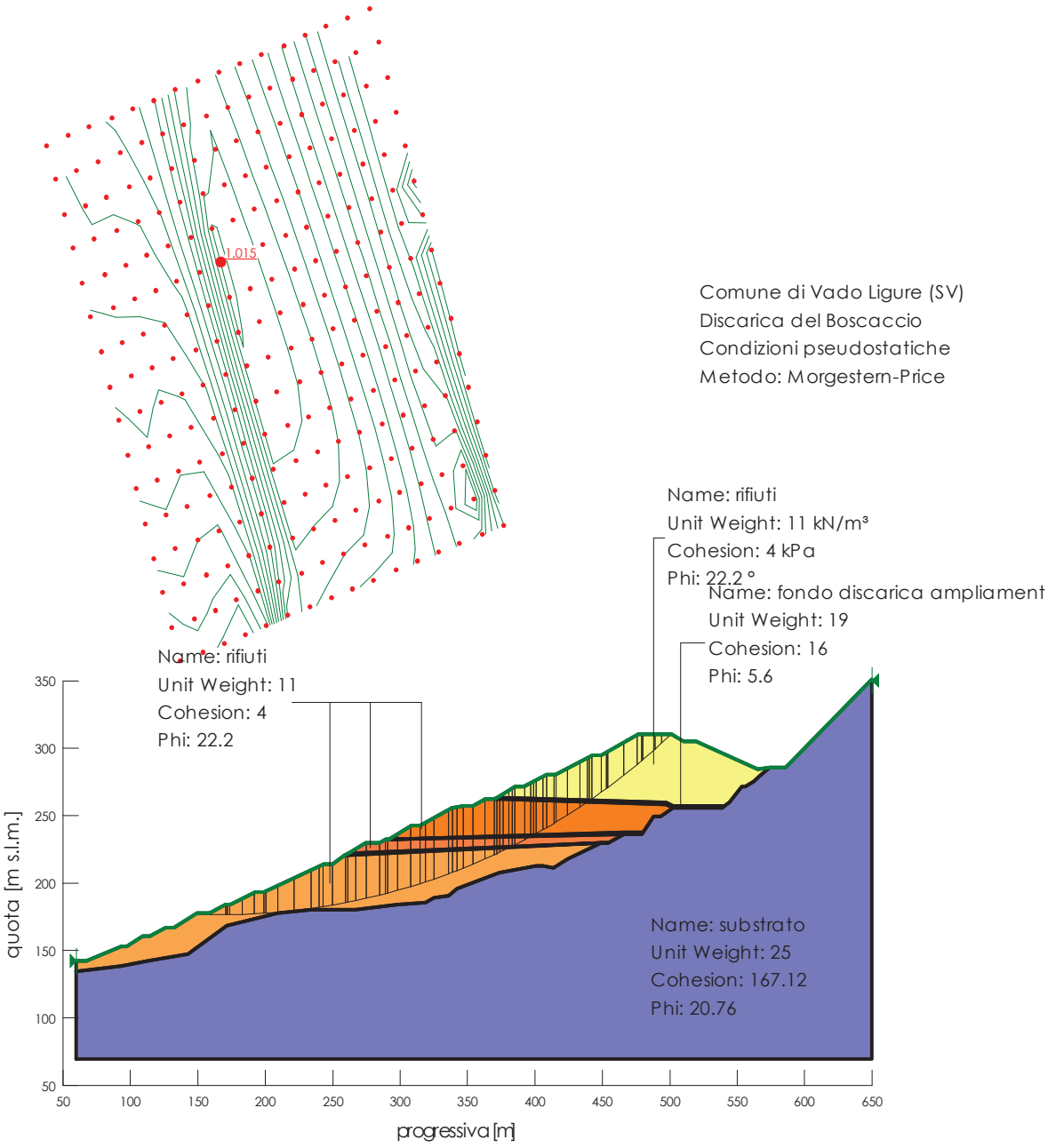


Figura 6: Verifica di stabilità della vecchia discarica a seguito del abbancamento di ampliamento Fs = 1.015 (condizioni pseudo-statiche)

è vietata la riproduzione di questo documento, senza preventiva autorizzazione scritta dello SGI
reproduction of this document is forbidden without prior written permission of SGI

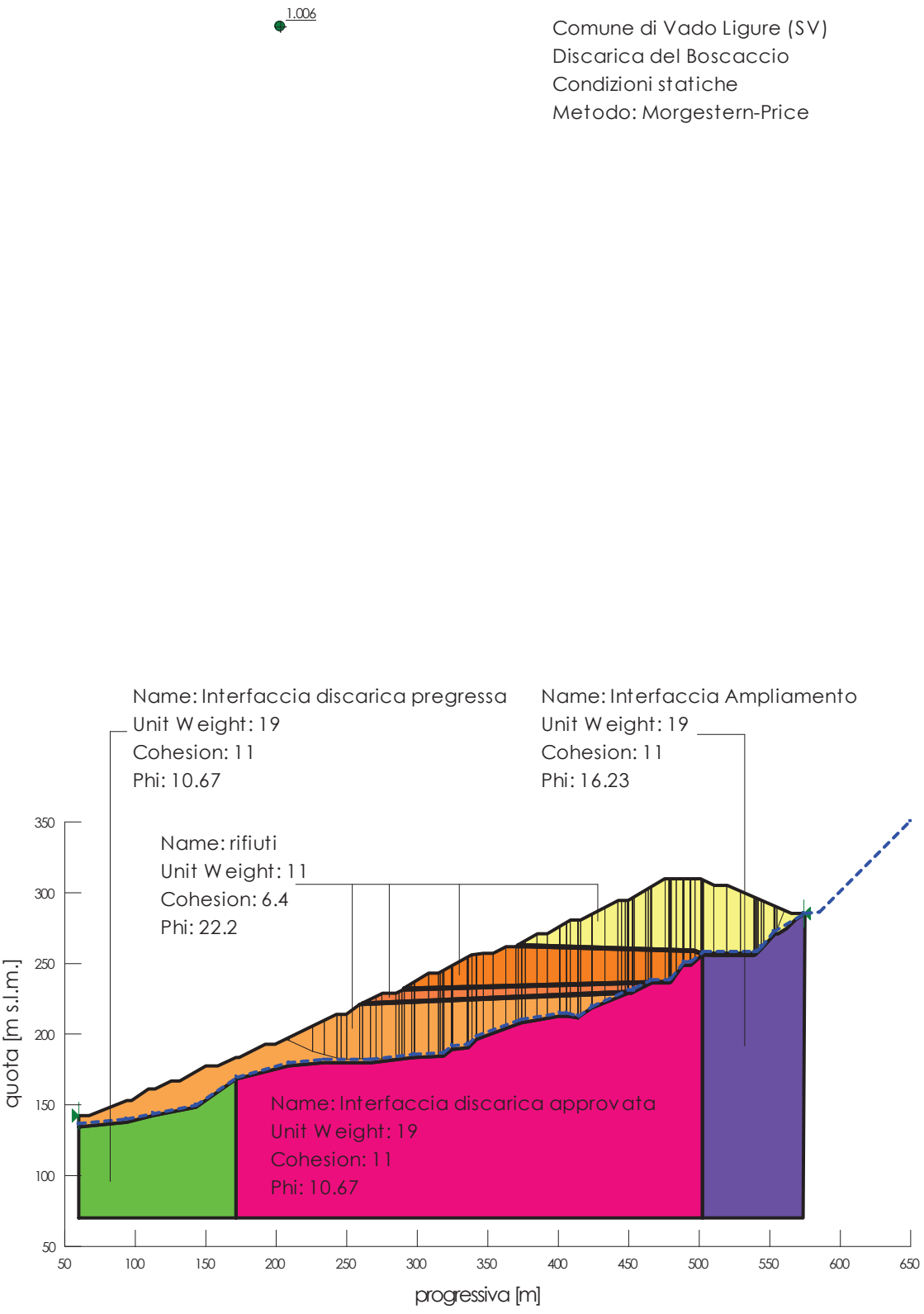


Figura 7: Verifica di stabilità corpo rifiuti lungo le interfacce del sistema di impermeabilizzazione Fs = 1.006 (condizioni pseudostatiche)